

Mesures des forces à petite distance: L'effet Casimir

Astrid Lambrecht
Laboratoire Kastler Brossel (Univ. Paris 6, ENS, CNRS)

avec Francesco Intravaia & Serge Reynaud (LKB),
Guillaume Jourdan (LKB-LEPES), Marc-Thierry Jaekel (LPT-ENS),
Paulo Maia Neto (Univ. Rio de Janeiro)

Discussions avec
Gabriel Barton (Sussex Univ.), Federico Capasso (Harvard),
Joël Chevrier & Gauthier Torricelli (LEPES-Grenoble),
Ephraim Fischbach (Purdue Univ.), Umar Mohideen (Univ. of Riverside),
Valery Nezhizhevsky (ILL-Grenoble), Roberto Onofrio (Dartmouth College),
Clive Speake (Univ. of Birmingham)

<http://www.spectro.jussieu.fr/Vacuum>

Une motivation pour les mesures de l'effet Casimir : tester la loi de Newton

Nouvelles forces hypothétiques

Représentation générique :
potentiel de Yukawa +
potentiel de Newton

$$V(r) = V_N(r) + V_Y(r)$$

$$V_N(r) = -G_N \frac{M_1 M_2}{r}$$

$$F(r) = F_N(r) + F_Y(r)$$

$$V_Y(r) = V_N(r) \alpha \exp(-r / \lambda)$$

$$F_N(r) = -G_N \frac{M_1 M_2}{r^2}$$

$$F_Y(r) = F_N(r) \alpha \left(1 + \frac{r}{\lambda} \right) \exp(-r / \lambda)$$

Modification de la loi
de Newton entre deux
masses ponctuelles

Comment tester la loi de Newton ?

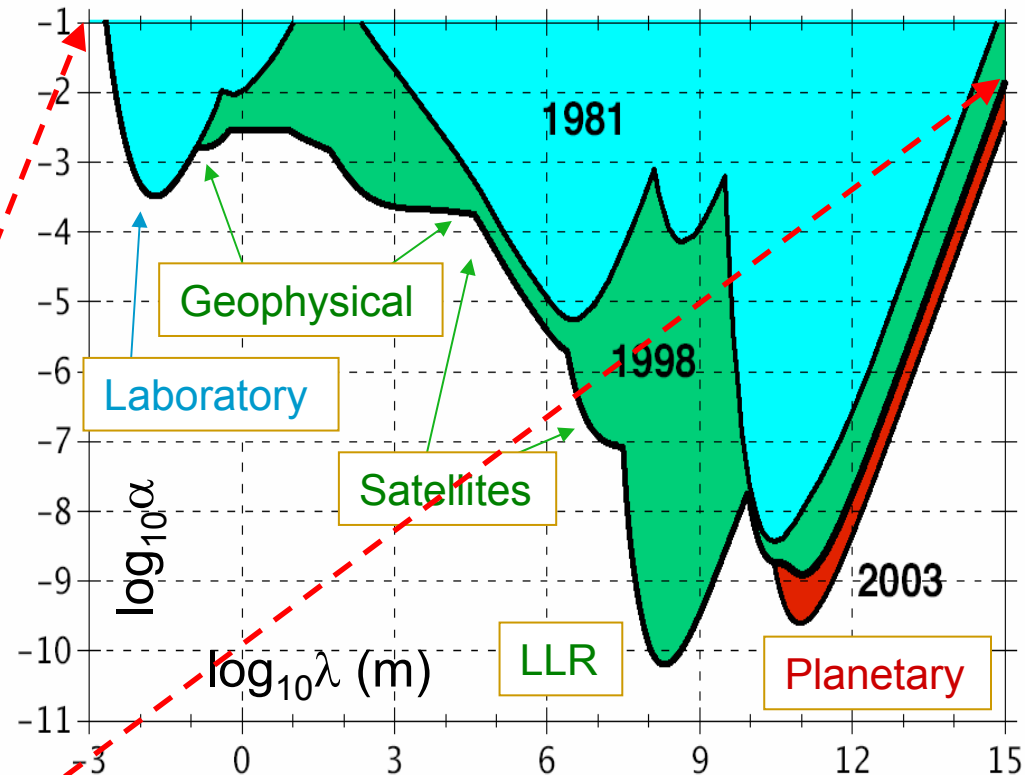
Mesures donnent
des contraintes dans
le plan (λ, α)

Fenêtres ouvertes
à courte distance...

$$\lambda < 10^{-3} \text{ m}$$

et à longue distance

$$\lambda > 10^{16} \text{ m}$$



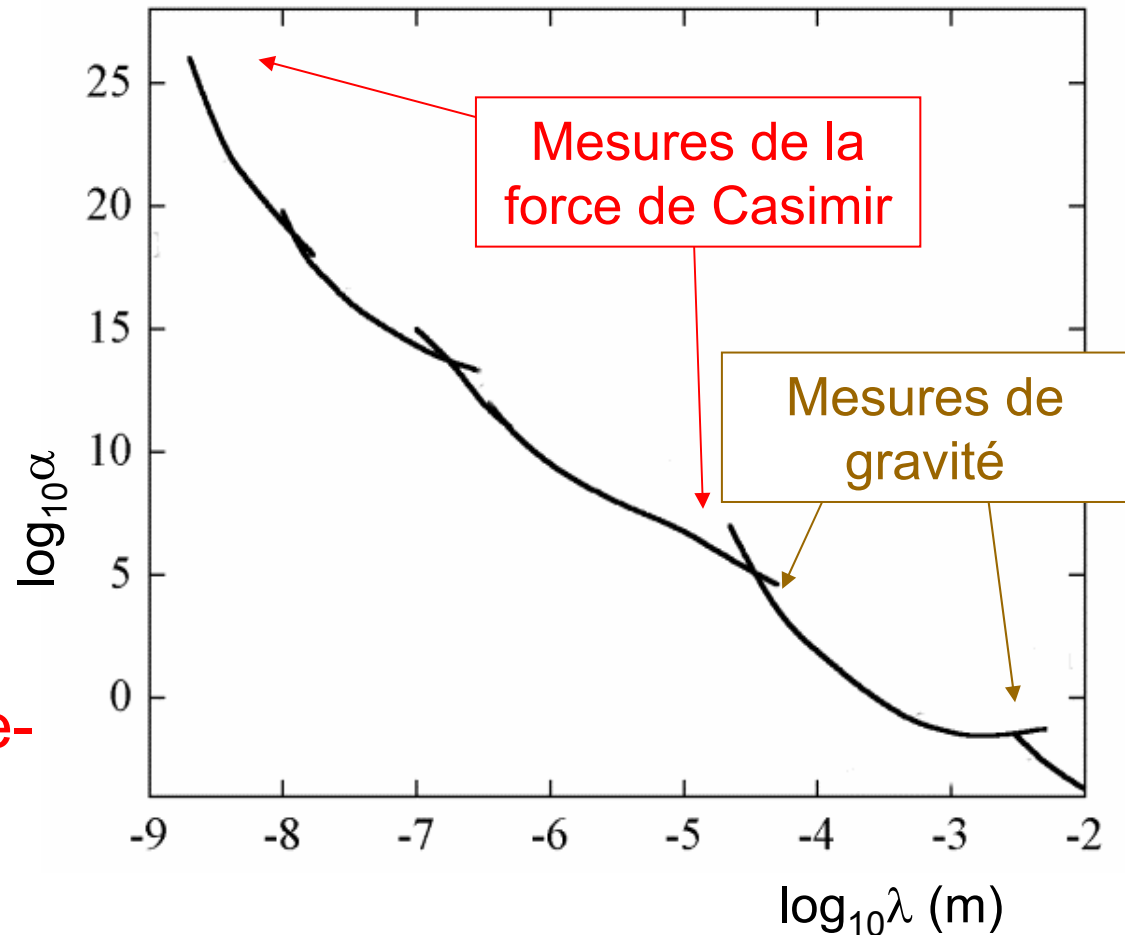
Courtesy : J. Coy, E. Fischbach, R. Hellings,
C. Talmadge, and E. M. Standish (2003)

Tests à courte distance

- Mesures de gravité à courte distance

$$\lambda > \text{qq } 10\mu\text{m}$$

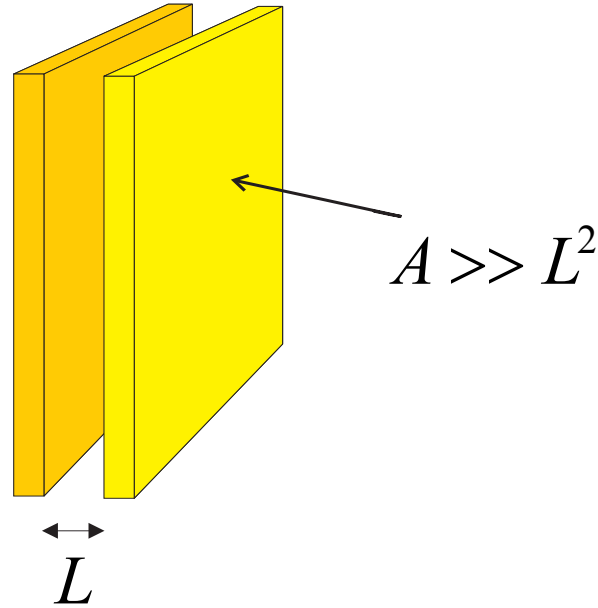
- Distances plus courtes:
Comparaisons théorie-
expériences pour la
force de Casimir



Casimir 1948

$$F_{\text{Cas}} = \frac{\hbar c \pi^2}{240 L^4} A$$

$$E_{\text{Cas}} = -\frac{\hbar c \pi^2}{720 L^3} A$$



■ Hypothèses

- miroirs plans parallèles
- réflexion parfaite
- température nulle
- surfaces parfaitement planes

- Ordre de grandeur de la pression de Casimir

$$L = 1 \mu\text{m} \rightarrow \frac{F_{\text{Cas}}}{A} \approx 10^{-3} \text{ Pa}$$

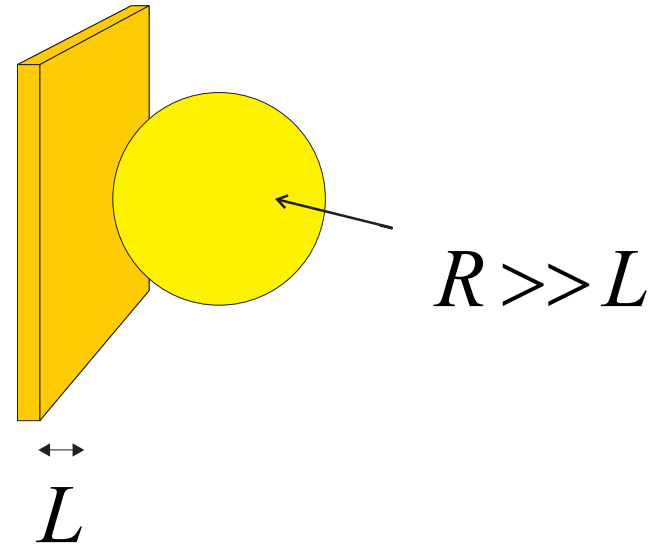
La géométrie plan-sphère

Les forces de Newton et de Yukawa sont additives, mais pas la force de Casimir

Proximity force approximation

- les contributions des éléments de surface sont additionnées comme si elles étaient indépendantes

$$F_{PS} = \int d^2x \frac{F_{PP}(x)}{A}$$



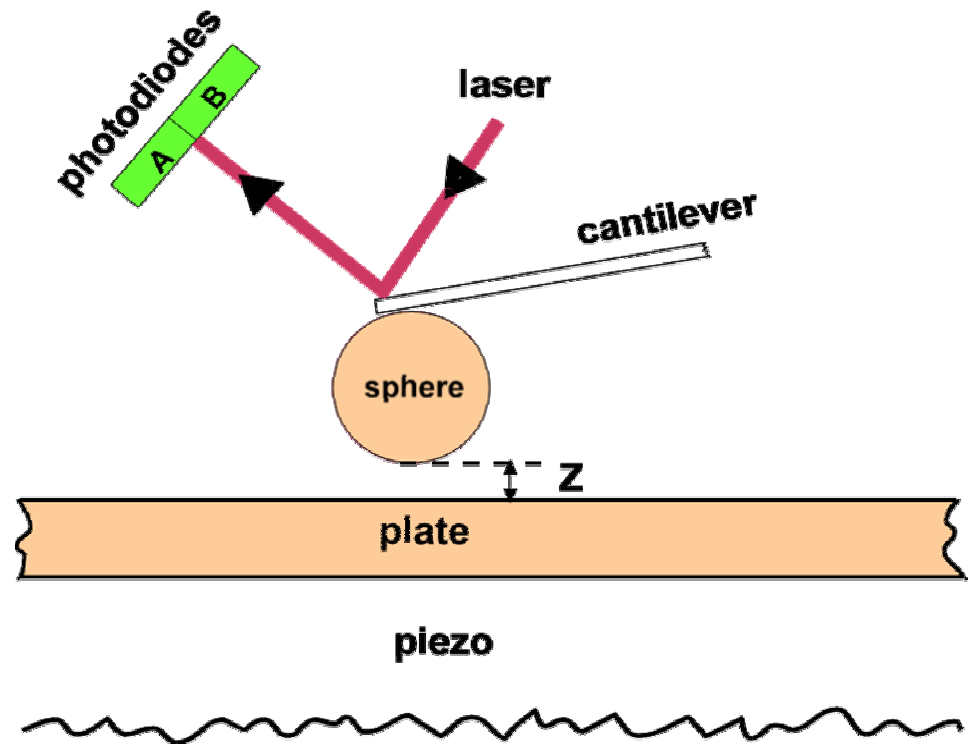
- pour la géométrie plan-sphère (si $R \gg L$)

$$F_{PS} = 2\pi R \frac{E_{PP}}{A}$$

Mohideen *et al* (Riverside)

Microscope à force atomique (AFM)

- Géométrie plan-sphère
- Sphère (100 μm) et plaque recouvertes d'or
- Distances 60-900nm
- Lecture optique
- Précision expérimentale mieux que 2% aux plus courtes distances

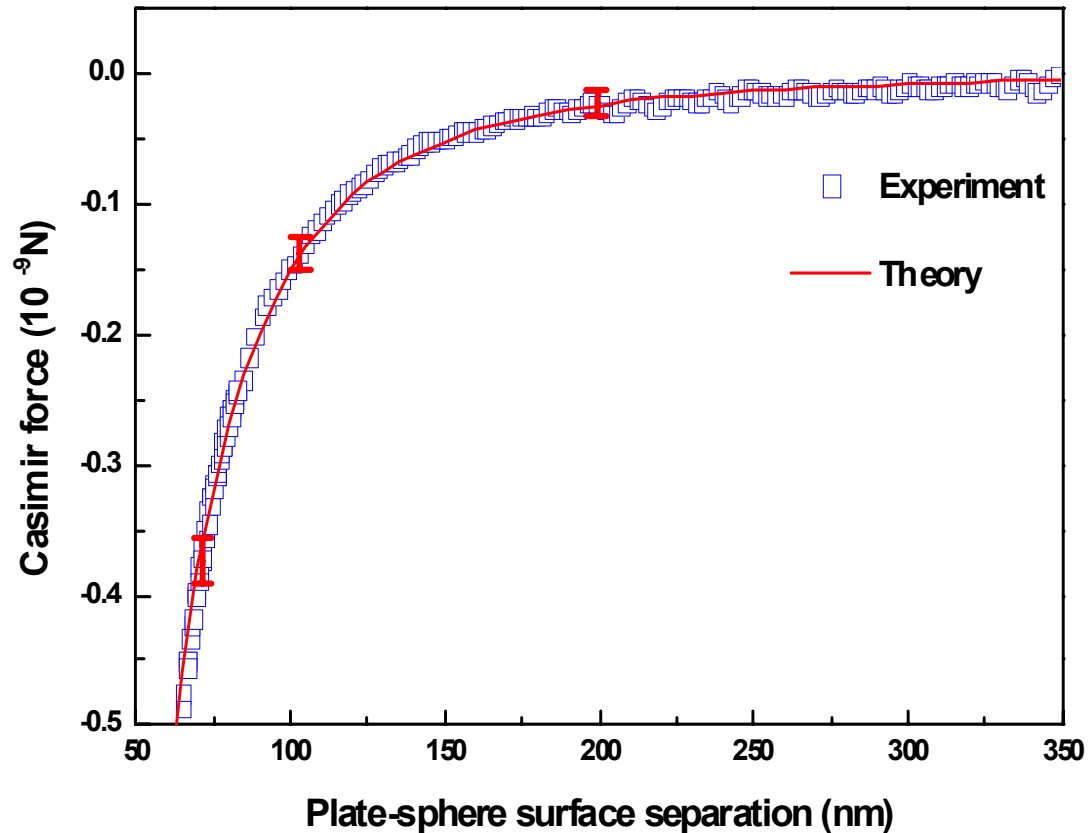


Courtesy U. Mohideen

Comparaison entre théorie et expériences

Accord satisfaisant si on tient compte des effets suivants

- Géométrie plan-sphère
- Réflexion imparfaite
- Température ambiante (correction < 1%)
- Rugosité des surfaces (correction < 1%)



Courtesy U. Mohideen

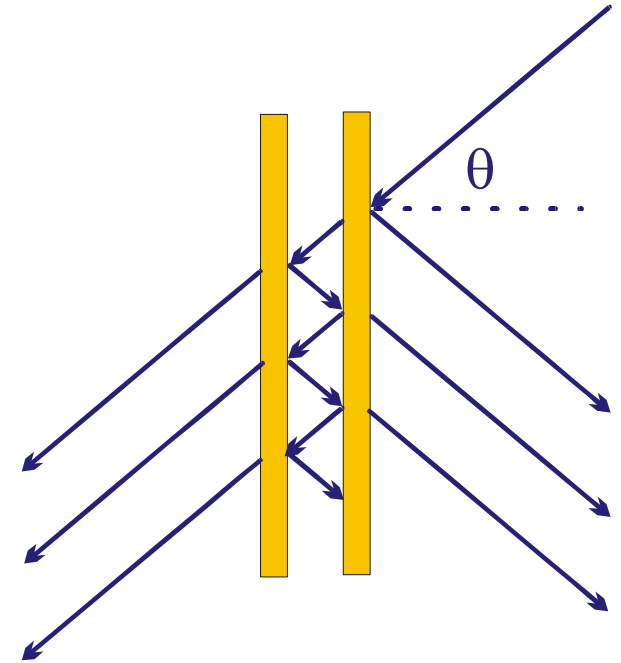
Réflexion imparfaite

La pression de radiation du vide

- en dehors de la cavité : $\frac{\hbar\omega}{2} \cos^2\theta$
- dans la cavité : $\frac{\hbar\omega}{2} \cos^2\theta \times g(\omega)$

Fonction d'Airy:

$$g_k^p(\omega) = \frac{1 - \left| r_1^p(\omega) r_2^p(\omega) e^{2ik_z L} \right|^2}{\left| 1 - r_1^p(\omega) r_2^p(\omega) e^{2ik_z L} \right|^2}$$



$$k_z = \frac{\omega}{c} \cos\theta$$

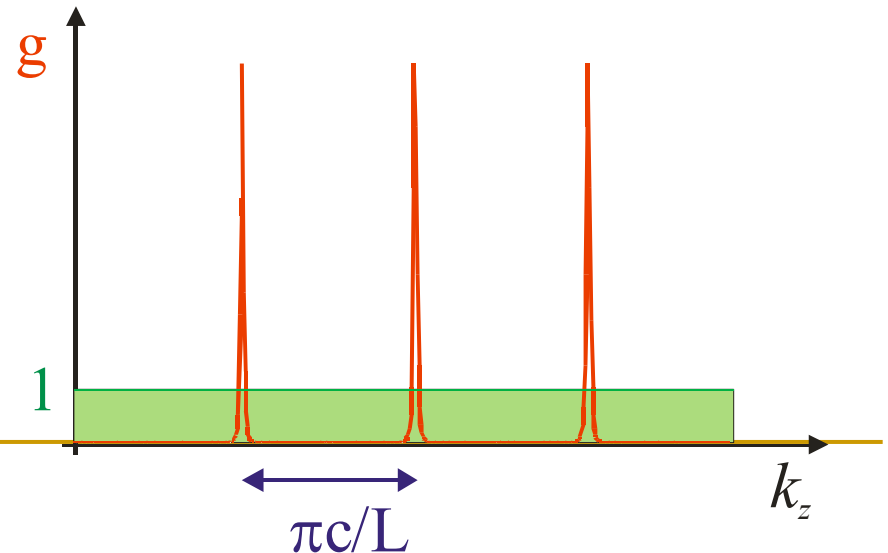
vecteur d'onde

La fonction d'Airy et la force de Casimir

- Force de Casimir =
intégrale sur tous les modes du champ

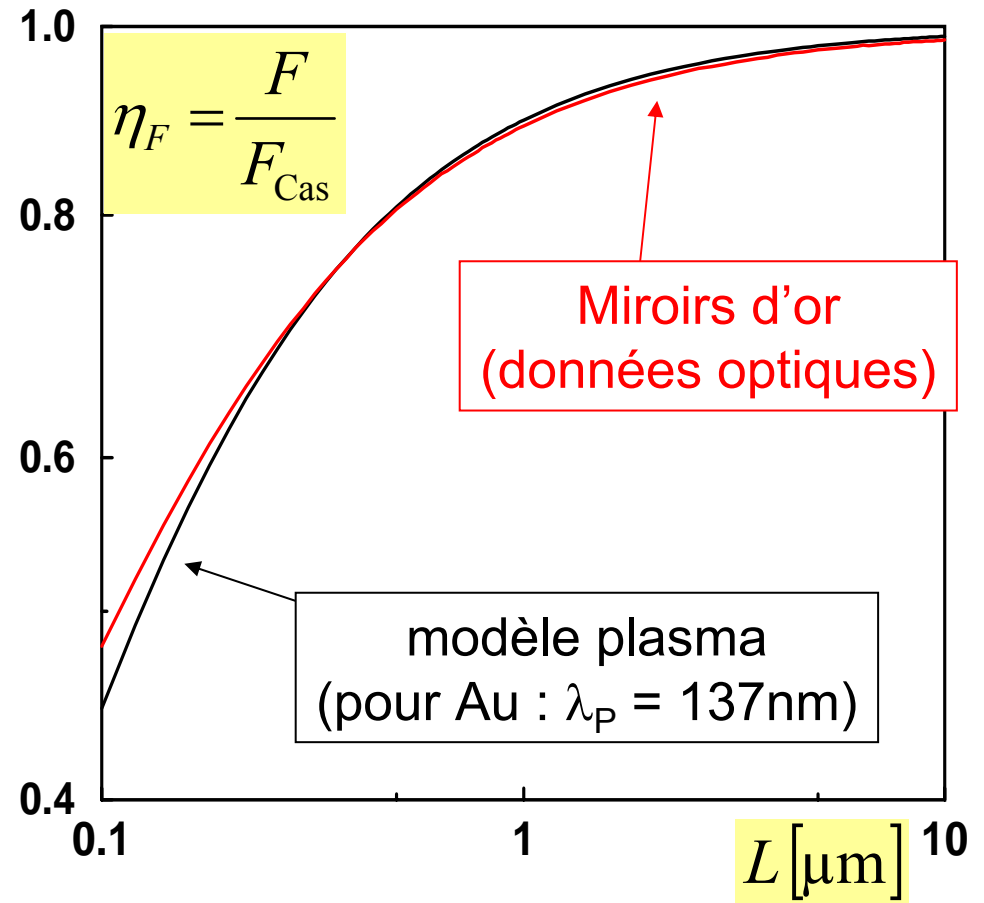
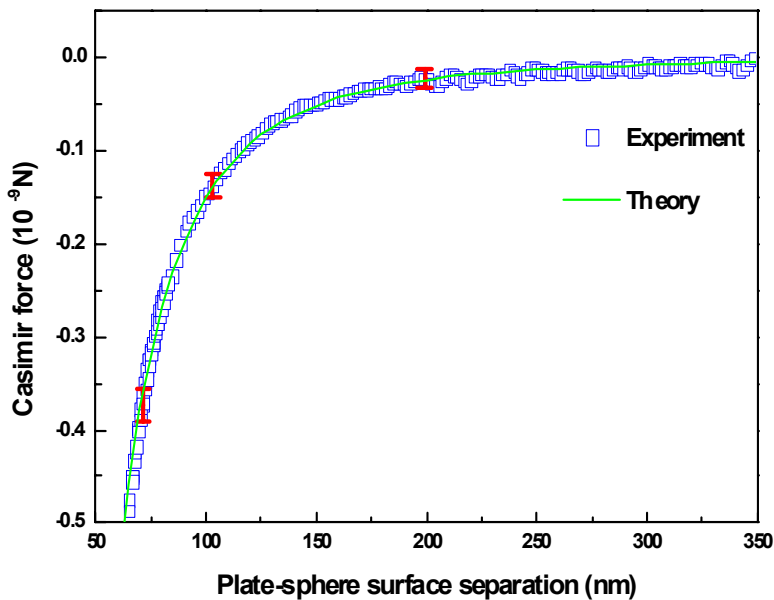
$$F = A \sum_p \int \frac{d^2k}{4\pi^2} \int_0^\infty \frac{dk_z}{2\pi} \hbar \omega \cos^2 \Theta (1 - g_k^p(\omega)); \quad p = \text{TE, TM}$$

- Bilan détaillé entre contributions attractives et répulsives déterminé par la fonction d'Airy



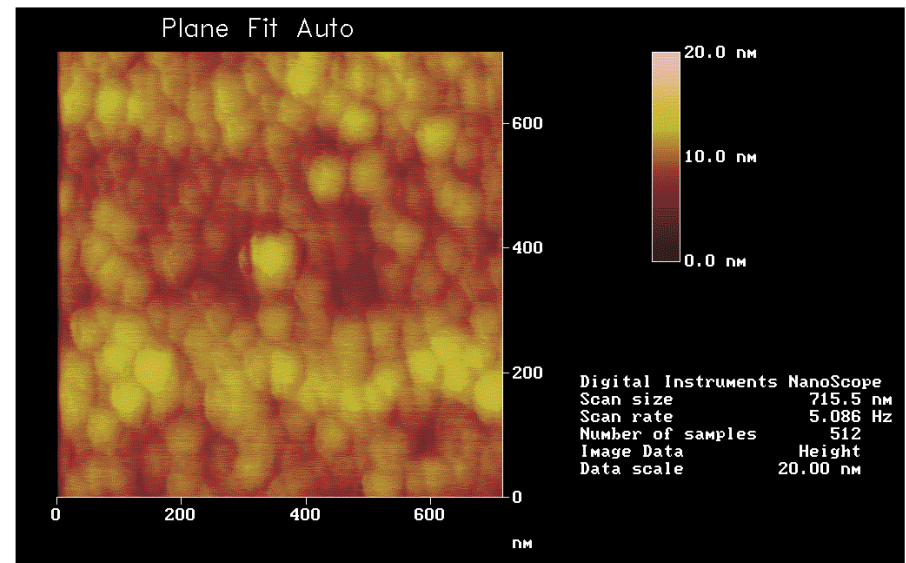
Intégration des données optiques

nécessaire pour une
précision de l'ordre du %



Rugosité des surfaces

- Calcul approximatif par PFA
Réflexion spéculaire : correction de 0.15%
- Longueur caractéristique \gg distance
- Spectre de rugosité
- Calcul exact nécessaire



Courtesy U. Mohideen

Réflexion non-spéculaire : Méthode

- Profils de rugosité des deux miroirs $h_i(\mathbf{r})$
- Spectre de rugosité $\sigma(k) = \sum_{i=1,2} \int d^2r \exp(-ikr) \langle h_i(r) h_i(0) \rangle$
- Correction $\delta E = \int \frac{d^2k}{(2\pi)^2} G(k) \sigma(k)$
- $G(k)$ contient les coefficients de réflexion qui mélangent les polarisations et les vecteurs d'onde
- Calcul de $\rho(k) = \frac{G(k)}{G(0)}$

Réflexion non-spéculaire : Résultats

- Correction est toujours plus grande que prévue par PFA

- Miroirs de Mohideen

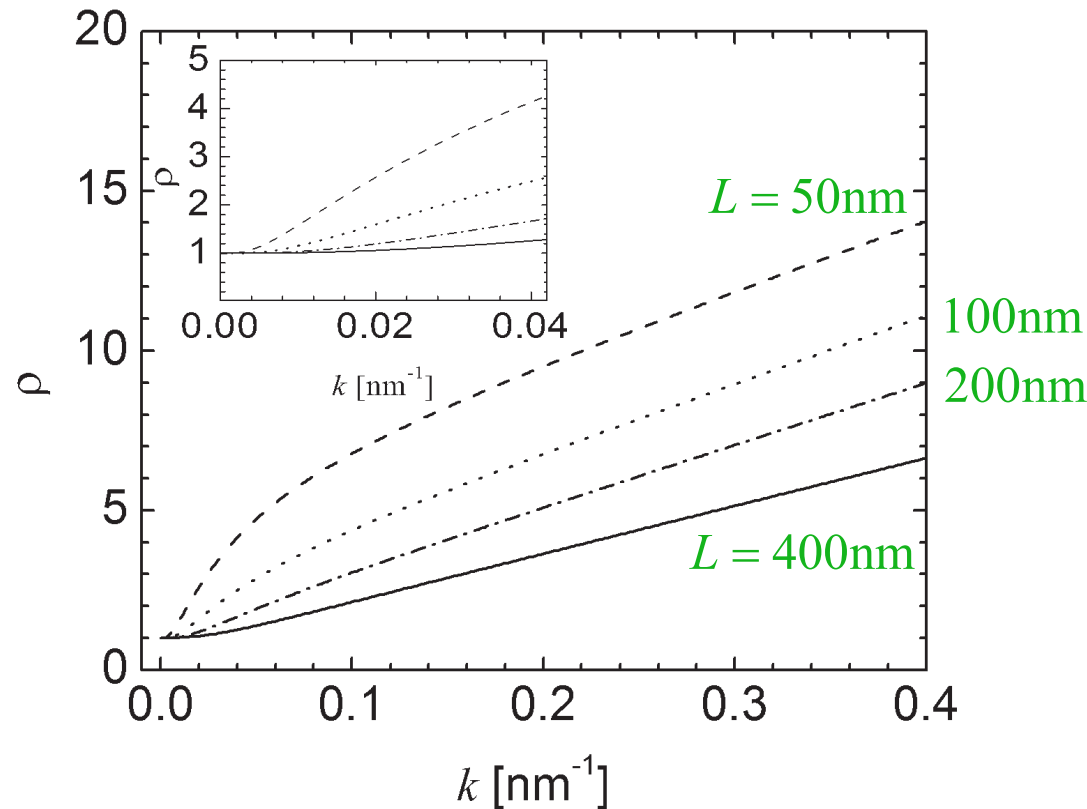
$L \sim 200 \text{ nm}$

$k^{-1} \sim 50 \text{ nm}$

- $\rho \sim 4$

Correction $\sim 0.6\%$

(au lieu de $\sim 0.15\%$)



Fischbach *et al* (Purdue)

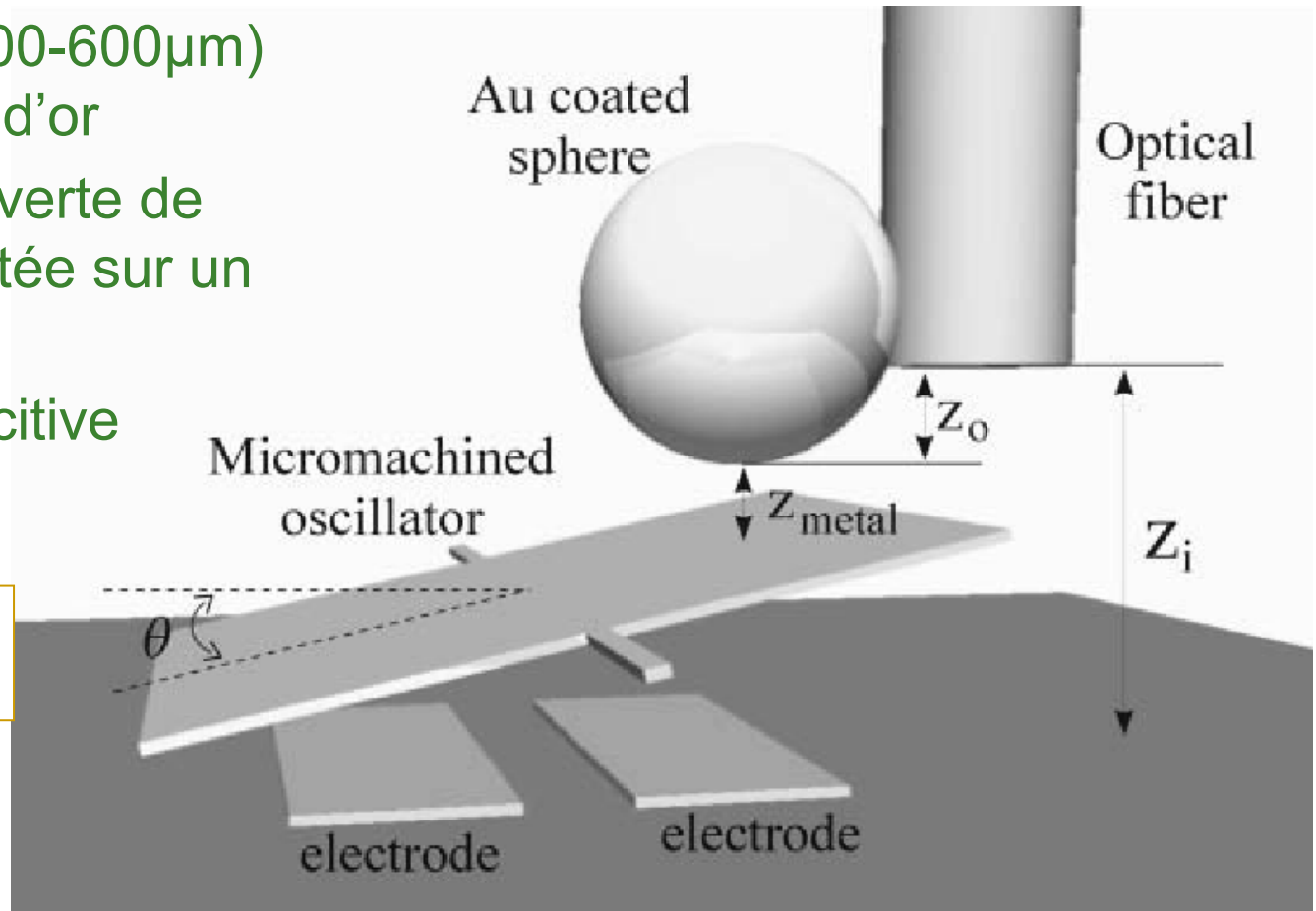
Sphère ($R=100-600\mu\text{m}$)
recouverte d'or

Plaque recouverte de
cuivre montée sur un
MEMS

Mesure capacitive

Mesures statiques
et dynamiques

$L = 260-1200\text{nm}$

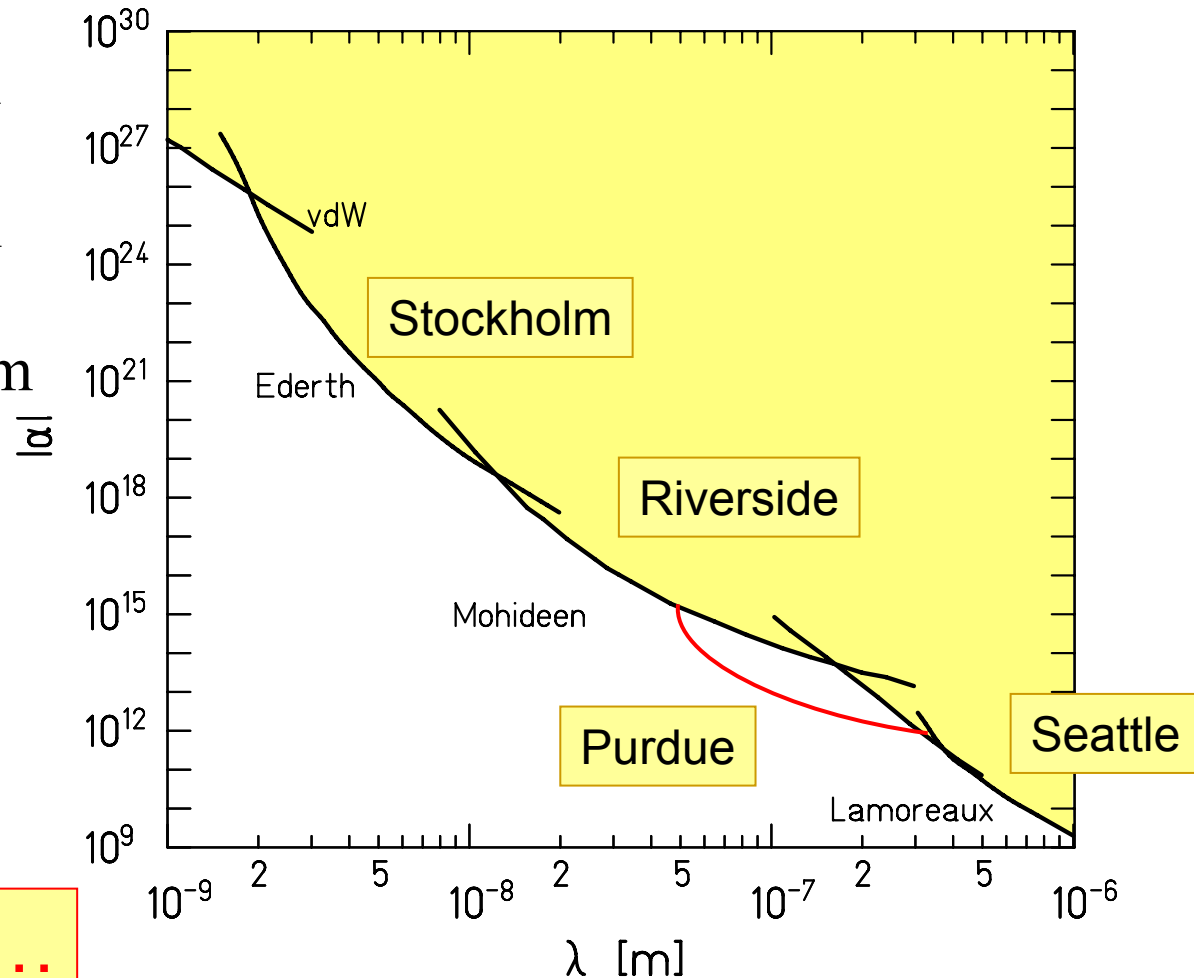


Mesures de la force de Casimir : Résumé

$\alpha < 1$ pour $\lambda \approx 200 \mu\text{m}$

$\alpha < 10^5$ pour $\lambda \approx 10 \mu\text{m}$

$\alpha < 10^{12}$ pour $\lambda \approx 100 \text{nm}$



Peut faire mieux...